

บทที่ 2

ทบทวนวรรณกรรมและงานวิจัยที่เกี่ยวข้อง

2.1 บทนำ

ทฤษฎีที่มีพื้นฐานเกี่ยวข้องกับปรากฏการณ์ Localization นั้นได้ถูกค้นพบขึ้นประมาณปี พ.ศ. 1900 โดย莫尔 (Mohr) ได้เสนอทฤษฎีความแข็งแรง (Strength theory) ของเหล็ก และจากนั้นได้ถูกพัฒนามาอย่างต่อเนื่อง ทฤษฎีของ莫尔ได้อธิบายความสัมพันธ์กันระหว่างความเค้น โดยอาศัยรูปวงกลม ซึ่งสามารถอธิบายสภาพความเค้นในสภาวะต่าง ๆ ได้เป็นอย่างดี โดยเฉพาะอย่างยิ่ง ณ จุดวินาศ (Failure) ของวัสดุต่าง ๆ การเกิด Localization ภายในมวลดินเป็นอุปสรรคสำคัญในการศึกษาพฤติกรรมการรับน้ำหนักของมวลดินภายหลังการวินาศ ทั้งนี้เนื่องจากพฤติกรรมของการเกิด Localization นั้น ก่อให้เกิดความไม่สม่ำเสมอของคุณสมบัติทางกายภาพ และด้วยประต่า ของดิน เช่น ทำให้บริเวณภายในมวลดินส่วนที่เกิด Localization มีความหนาแน่นต่ำกว่าบริเวณอื่น ๆ ทำให้เกิดการสะสมของความเครียดที่สูงมากในบริเวณนี้ เพื่อทำหน้าที่กระจายพลังงานจากการกระทำการของแรงภายนอก เนื่องจากการเกิด Localization เกิดขึ้นภายในมวลดินและเกิดขึ้นในบริเวณแคบ ๆ นอกจากนี้ ยังไม่สามารถกำหนดตำแหน่งที่จะเกิด Localization ได้อย่างแน่นอน ดังนั้นการศึกษาและตรวจสอบกลไกและพฤติกรรมของการเกิด Localization ในมวลดินสั้นต้องอาศัยการทดสอบที่ยุ่งยากมีหลายขั้นตอน รวมถึงต้องใช้เทคนิคและเครื่องมือที่ทันสมัยและต้องการประสบการณ์ของนักวิจัยในการแปลงการทดสอบอย่างมาก นักวิจัยหลาย ๆ คนยังอธิบายพฤติกรรมของการเกิด Localization โดยอาศัยแบบจำลองทางคณิตศาสตร์และทางคอมพิวเตอร์ โดยใช้แบบจำลองดินที่ค่อนข้างซับซ้อน ซึ่งในบทนี้จะเป็นการทบทวนวรรณกรรมและงานวิจัยที่เกี่ยวข้องในการศึกษาการเกิด Localization ในดินที่สำคัญ โดยเฉพาะอย่างยิ่งในดินทรายตั้งแต่อดีตจนถึงปัจจุบัน

2.2 การศึกษาการเกิด Localization ในดินทราย

ดินทรายหรือดินที่มีลักษณะเป็นเม็ด (Granular materials) นั้นมีอิฐแรงมากและทำให้มากเพียงพออย่างต่อเนื่อง จะก่อให้เกิดปรากฏการณ์ของ Localization ในมวลดินทรายนั้น ซึ่งเม็ดดินจะเกิดการเคลื่อนตัวโดยการเลื่อนไถ (Slip) และการหมุน (Rotation) ขึ้นในบริเวณแคบ ๆ ณ บริเวณเดบิวแทนหนึ่ง หรือเรียกกันว่าบริเวณรอยเลื่อนวินาศ (Localized zone) ทำให้เกิดการพองตัว (Dilatancy) และเกิดการเคลื่อนตัวสูง (High deformation) ภายในบริเวณรอยเลื่อนวินาศ นั้น ซึ่งการเคลื่อนตัวหรือการพองตัวเหล่านี้จะทำให้เกิดความไม่เสถียร (Instability) ขึ้นในมวล

ดิน ด้วยเหตุนี้เองทำให้นักวิจัยด้านวิศวกรรมปูร์ฟีได้เริ่มศึกษาการเกิดปรากฏการณ์ Localization นี้มากกว่า 40 ปีมาแล้ว โดยทำการศึกษาและวิจัยทั้งการจำลองทางคณิตศาสตร์ การจำลองทางคอมพิวเตอร์ และการทดสอบในห้องปฏิบัติการ โดยการศึกษาเหล่านี้ส่วนหนึ่งได้ทำการศึกษาลักษณะทางกายภาพของรอยเลื่อนวิบัติ เช่น แนวการวางตัวของรอยเลื่อน (Shear band orientation) และความหนาของรอยเลื่อน รวมถึงมีการศึกษาถึงช่วงเวลาและการพัฒนาของการเกิด (Onset and evolution of strain localization) โดยการใช้อุปกรณ์การทดสอบดังเดิม เช่น เครื่องทดสอบแรงอัดสามแกน (Triaxial test) เครื่องทดสอบแบบ Plain strain test และเครื่องทดสอบที่ทันสมัยที่ใช้ในงานทางการอุตสาหกรรมต่าง ๆ เช่น เครื่องยิงรังสี X-ray เครื่องยิงรังสี Gamma เป็นต้น การใช้เครื่องมือทดสอบเหล่านี้จะสามารถทำให้เข้าใจถึงพฤติกรรมของการเกิด Localization ได้มากยิ่งขึ้น

การศึกษาการเกิด Localization ในระยະแรก ๆ อาศัยการศึกษาด้วยตาเปล่า (Visual inspection) ต่อมาก็ได้มีการพัฒนาเอกสารระบบการวิเคราะห์ภาพถ่าย (Image processing) เข้ามาช่วยในการวิเคราะห์ (Tatsuoka et al. 1972, Lesniewska and Mroz, 2000 and Kodaka et al. 2007) อย่างไรก็ตามวิธีการดังกล่าว ยังคงเป็นการศึกษาการเกิด Localization จากภายนอก ส่งผลให้ไม่สามารถวิเคราะห์กลไกและความเปลี่ยนแปลงที่เกิดขึ้นภายในพื้นที่เล็ก ๆ ที่เกิด Localization ได้ ในระยะต่อมา ได้มีการประยุกต์ใช้ระบบ X-ray เข้ามาช่วยในการวิเคราะห์กลไกการเกิดและการขยายตัวของ Localization (Roscoe, 1970) ซึ่งวิธีการประยุกต์ภาพถ่าย X-ray เป็นวิธีที่ได้รับความนิยมเป็นอย่างมาก และ ได้รับการพัฒนาไปจนสามารถสร้างภาพ 3 มิติได้ (X-ray computed tomography) (Desrues et al. 1996 และ Batiste et al. 2004) หรือประยุกต์ใช้วิธีการทางภาพอื่น ๆ เช่น Digital Image Analysis (DIA) (Sachan and Penumadu, 2007) การศึกษาโดยวิธีการทางภาพต่าง ๆ สามารถศึกษาภาพรวมของการเกิด Localization ในมวลดินได้ อย่างไรก็ตามการวิเคราะห์การเปลี่ยนแปลงทางด้านคุณสมบัติของดินภายในพื้นที่ที่เกิด Localization ยังมีข้อจำกัดอยู่ค่อนข้างมาก ได้มีความพยายามที่จะพัฒนาเครื่องมือโดยทำการติดตั้งอุปกรณ์ตรวจวัดหลายอย่าง อย่างเช่น Pore pressure transducer และ Strain meter ในตำแหน่งที่คาดว่าจะเกิด Localization ในตัวอย่างดินที่ทำการทดสอบ(Wanatowski and Chu, 2006) เพื่อตรวจวัดระดับของความไม่สม่ำเสมอ (Non-uniformity) ของแรงดันน้ำส่วนเกิน (Excess pore water pressure) และ ปริมาณความเครียด (Strain) เป็นต้น การศึกษาการเกิด Localization โดยการตรวจวัดความไม่สม่ำเสมอของตัวแปรทางวิศวกรรมต่าง ๆ เหล่านี้ ทำให้ทราบผลกระบวนการที่เกิดจากการเกิด Localization แต่ไม่สามารถอธิบายกลไกการเกิดได้ และไม่สามารถนำผลการศึกษาไปอธิบายพฤติกรรมการรับน้ำหนักภายหลังการวิบัติ (Post peak behavior หรือ Residual strength characteristic)

จากการศึกษาและวิจัยของนักวิจัยหลาย ๆ ท่านเกี่ยวกับพฤติกรรมของการเกิดรอยเลื่อนวินิบิตติ์ สามารถสรุปประเด็นที่สำคัญดังนี้ ได้ดังต่อไปนี้

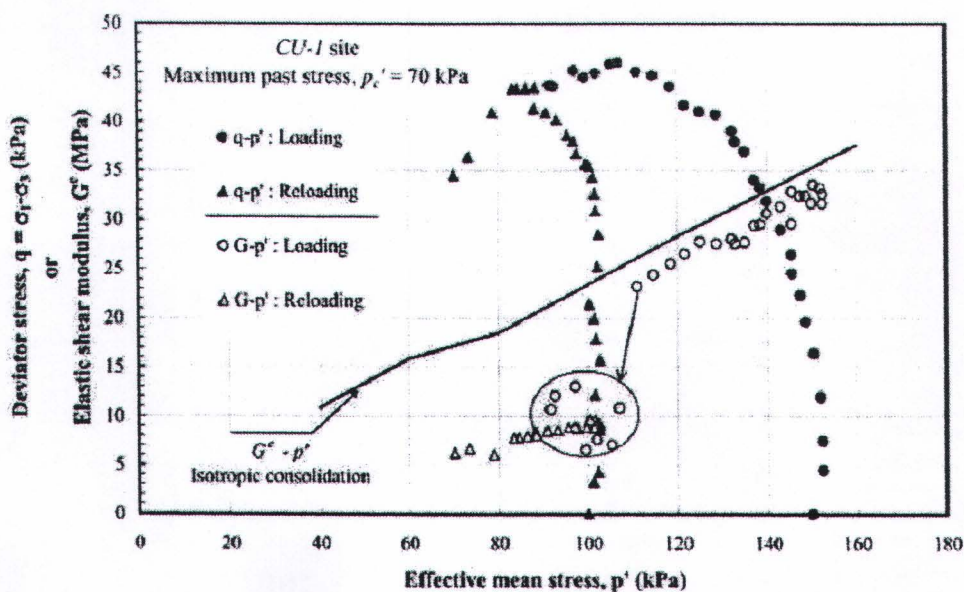
- รอยเลื่อนวินิบิตติ์ภายในมวล din เซ่น ดินทราย จะเกิดขึ้นและสามารถตรวจสอบ และสังเกตได้จากการทดสอบโดยการใช้เครื่องมือและอุปกรณ์การทดสอบแบบดั้งเดิมและแบบใหม่ เช่น เครื่องมือทดสอบแบบแรงอัดสามแแกน เครื่องมือทดสอบแรงเฉือน และเครื่องมือทดสอบแบบกระบอกกลวง (Hollow cylindrical test)
- ขนาดและรูปร่างของตัวอย่างทดสอบ รวมถึงรูปแบบการกระทำของแรง (Loading condition) จะมีผลทำให้รูปแบบของรอยเลื่อนวินิบิตติ์เกิดขึ้นมีความซับซ้อน กล่าวคือ ในตัวอย่างดินที่มีขนาดค่อนข้างสั้นที่ทดสอบในเครื่องมือทดสอบแบบแรงอัดสามแแกนจะเกิดรอยเลื่อนวินิบิตติ์ที่มีความซับซ้อนและไม่เป็นระเบียบกว่าตัวอย่างที่มีขนาดความสูงที่มากกว่าเนื่องจากผลกระทบของขอบเขต (Boundary condition) ของตัวอย่างทดสอบ แต่ในตัวอย่างดินที่ทดสอบในเครื่องมือทดสอบแบบ Plain strain test รอยเลื่อนวินิบิตติ์ที่เกิดขึ้นจะมีรูปร่างเป็นแกนและสมมาตรเมื่อก่อนข้างชัดเจน
- ณ ตำแหน่งที่ความเค้นสูงสุดบนกราฟความสัมพันธ์ระหว่างความเค้นและความเครียดด้านนั้น นักวิจัยหลาย ๆ ท่านได้รายงานผลการศึกษาวิจัยว่าโซนของรอยเลื่อนวินิบิตติ์จะพัฒนาขึ้นเต็มรูปแบบในช่วงเวลาหนึ่ง โดยจุดเริ่มของการวินิบิตติ์จะเกิดขึ้นก่อนตำแหน่งความเค้นสูงสุดนี้เล็กน้อย

2.3 ความสัมพันธ์ระหว่างความเร็วคลื่นแรงเฉือนและคุณลักษณะต่าง ๆ ของดินทราย

เป็นที่ยอมรับกันว่าการเปลี่ยนแปลงค่าอัตราส่วนช่องว่าง (Void ratio) ของมวล din ภายใต้การกระทำของแรงเฉือน จะมีค่ามุ่งเข้าสู่ค่าคงที่ค่าหนึ่งที่เรียกว่าค่าอัตราส่วนช่องว่างวิกฤติ (Critical void ratio) ทั้งนี้การศึกษาจำนวนมากที่เกี่ยวข้องกับพฤติกรรมของดินทรายก่อนการวินิบิตติ์ได้ยืนยันข้อสรุปดังกล่าว อย่างไรก็ตาม ได้มีการพบในภายหลังว่า ในมวล din ทราย (โดยเฉพาะดินทรายที่มีความหนาแน่นสูง) ที่มีการตรวจพบการเกิด Localization ที่ชัดเจนการเปลี่ยนแปลงค่าของอัตราส่วนช่องว่างระหว่างการทดสอบ จะมีค่าต่ำกว่าค่าอัตราส่วนช่องว่างวิกฤติค่อนข้างมาก ต่อมาก็โดยอาศัยผลการศึกษาโดยวิธี X-ray computed tomography ในระยะหลัง ได้แสดงให้เห็นว่าอัตราส่วนช่องว่างของดินภายใต้แรงเฉือนที่เกิด Localization นั้น จะมีค่ามุ่งเข้าสู่ค่าอัตราส่วนช่องว่างวิกฤติ (Desrues et al. 1996) อย่างไรก็ตาม การศึกษาโดยการใช้แบบจำลองทางคณิตศาสตร์ที่สลับชั้นชั้น เช่น การใช้ Discrete Element Analysis (Gudehus

and Nubel, 2004) กลับพบว่าเพื่อที่จะให้การกระจายพลังงานจากการกระทำของแรงภายในออกภายในบริเวณที่เกิด Localization เกิดขึ้นอย่างเพียงพอ จนกระทั่งมวลดินแสดงพฤติกรรมการรับน้ำหนักสูงสุด (กราฟแสดงความสัมพันธ์ระหว่างความเค้นและความเครียดมีลักษณะแบบราบ) แล้ว อัตราส่วนช่องว่างภายในบริเวณ Localization จะต้องมีค่าที่สูงมากกว่าค่าอัตราส่วนช่องว่างทั่วไปค่อนข้างมาก ซึ่งไม่สอดคล้องกับผลการทดสอบในห้องปฏิบัติการ

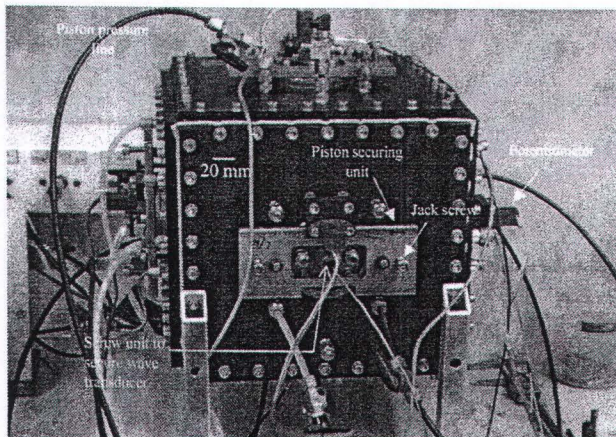
จากที่ได้กล่าวมาแล้วว่า ความเร็วของคลื่นแรงเสือนภายในมวลดินเปลี่ยนแปลงโดยตรง กับค่าอัตราส่วนช่องว่างและหน่วยแรงภายในมวลดินนั้น ๆ ดังนั้นการตรวจวัดการเปลี่ยนแปลง ของความเร็วของคลื่นแรงเสือนภายในมวลดินในขณะที่มวลดินบางส่วนเกิด Localization จึง สามารถใช้เป็นเครื่องมือในการประมาณค่าอัตราส่วนช่องว่างของมวลดินภายในบริเวณที่เกิด Localization ได้เป็นอย่างดี ทั้งนี้ Teachavorasinskun and Amornwithayalax (2002) (รูปที่ 2.1) และ Teachavorasinskun and Akkarakun (2004) ได้ทำการทดสอบหาเส้นทางเดินของค่า ความเร็วคลื่นแรงเสือนในดินเหนียวที่พิสูจน์ว่า ภายหลังการวินิจฉัยของตัวอย่างทดสอบ ความเร็วคลื่น แรงเสือนมีการเปลี่ยนแปลงในลักษณะที่ผิดแปลงไปจากรูปแบบที่ได้ในช่วงก่อนการวินิจฉัย อย่างไรก็ตามในการศึกษาทั้งสองได้เพียงแต่ตั้งข้อสังเกตการเปลี่ยนแปลงดังกล่าวไว้ แต่ไม่ สามารถให้รายละเอียดได้ เนื่องจากเครื่องมือทดสอบที่ใช้ไม่ได้มีการวางแผนและจัดเตรียมไว้ สำหรับการศึกษาการเปลี่ยนแปลงความเร็วคลื่นแรงเสือนในขณะที่เกิด Localization



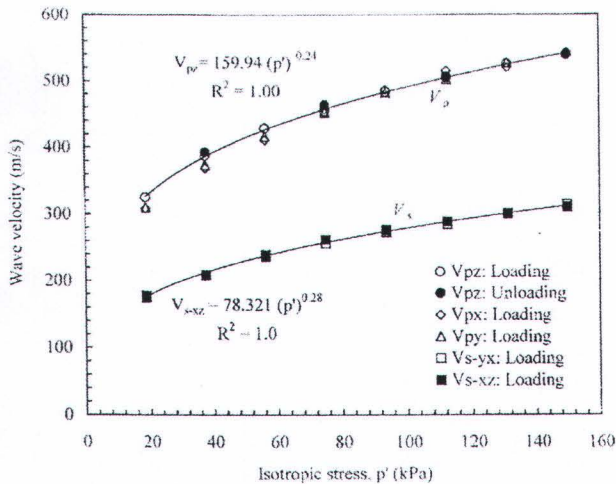
รูปที่ 2.1 การทดสอบหาเส้นทางเดินของค่าความเร็วคลื่นแรงเสือนในดินเหนียว
(Teachavorasinskun and Amornwithayalax, 2002)

ในงานวิจัยของ Mostafa A.I. et al. (2005) ได้ทดลองวัดคลื่นแรงเนื้อนที่เคลื่อนที่ผ่านดินทรายในเครื่องมือแบบแรงอัดสามแกนจริง (True triaxial apparatus) โดยมีการติดตั้งเครื่องกำเนิดคลื่น (Wave-transducer) ที่ผลิตขึ้นมาแบบพิเศษที่สามารถวัดได้ทั้งคลื่นแรงเนื้อน (Elastic shear wave, V_s) และคลื่นแรงอัด (Compressional wave, V_p) ดังรูปที่ 2.2 โดยสมมุติฐานที่ผู้วิจัยได้คิดที่จะทดสอบเนื่องจากมีรายงานการวิจัยจากอดีตพบว่า ความเค้นที่กระทำต่อดินในแต่ละทิศทางในทั้งสามแกนกล่าวคือ ความเค้นหลัก ความเค้นรองและความเค้นส่วนกลาง มีอิทธิพลที่สำคัญต่อค่าโมดูลัสแรงเนื้อน (Shear modulus) ของดินที่เกิดขึ้นในความเครียดที่ต่ำมาก (Small strain behavior) มากกว่าค่าความเค้นประสิทธิผลเฉลี่ย (Mean effective stress, p')

ผลการศึกษาดังกล่าวข้างต้น พบว่าความเร็วของคลื่นแรงอัดทั้งสามทิศทาง จะมีค่าเพิ่มมากขึ้นตามค่าความเค้นที่เท่ากันทุกทิศทาง (Isotropic stress) ดังรูปที่ 2.3 ส่วนผลกระทบของสภาพดัดมากกว่าปกติของดินทราย (Over consolidation of the sand) จะมีผลกระทบจากความเค้นในทิศทางที่คลื่นเคลื่อนที่ผ่านเท่านั้น



รูปที่ 2.2 แสดงเครื่องมือทดสอบแรงอัดสามแกนจริงที่ติดตั้งเครื่องมือวัดแรงเนื้อนและตัวอัดแรงดัน (Mostafa A.I. et al., 2005)



รูปที่ 2.3 ผลกระทบของความเค้นที่เท่ากันทุกทิศทางต่อคลื่นแรงอัดและคลื่นแรงเฉือน

(Mostafa A.I. et al., 2005)

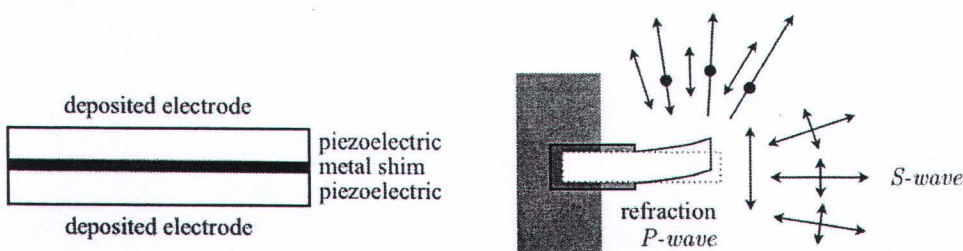
Leong et al. (2005) ได้ทำการทดสอบการวัดคลื่นแรงเฉือนที่เคลื่อนที่ผ่านดินทรายแห้ง ดินทรายเปียก และดินทรายอิมตัว (Dry, unsaturated and saturated sand) โดยพิจารณาถึง ความไม่แน่นอนของการวัดคลื่นเนื่องจากผลกระทบของชนิดของตัววัดคลื่นแรงเฉือนหรือ Bender element ลักษณะของคลื่นที่ปล่อยออกมานะ (Waveform) เช่น ขนาด (Magnitude) และ ความถี่ (Frequency) โดยผลการทดสอบพบว่า ความไม่แน่นอนของทดสอบนั้นขึ้นกับการแปล ความหมาย (Interpretation) สัญญาณของตัวรับสัญญาณ โดยในการใช้ตัวกำเนิดคลื่นแบบไซน์ (Sinusoidal input) การบันทึกเวลาในการเคลื่อนที่ (Travel time) ของคลื่นที่เคลื่อนที่ผ่านดิน ควรจะดัดจากส่วนโคลงของกราฟที่เกิดขึ้นแรกสุด (First deflection) และความสามารถที่จะเพิ่ม ประสิทธิภาพการรับสัญญาณของคลื่นได้โดย 1) ค่าอัตราส่วนของสัญญาณต่อตัวกวน (Signal to Noise, SNR) อย่างน้อย 4 เดซิเบล 2) ค่าความยาวของเส้นทางการเคลื่อนตัวของคลื่นต่ออัตรา ส่วนของความยาวคลื่นอย่างน้อย 3.33 นอกจากนี้ในการทดสอบความสามารถเพิ่มค่า SNR ได้โดย การเพิ่มแรงดันไฟฟ้า (Voltage) กับตัวส่งสัญญาณคลื่น (Transmitter bender element) โดยใช้ ตัวขยายกำลังไฟฟ้า (Power amplifier) และ/หรือใช้การต่อตัวส่งสัญญาณเป็นแบบขนาน และต่อ ตัวรับสัญญาณเป็นแบบอนุกรม เป็นต้น

Minsu Cha and Gye-Chun Cho (2007) ได้ประมาณค่ากำลังรับแรงเฉือนของดินทราย โดยใช้ความเร็วคลื่นแรงเฉือน โดยผลการทดสอบแสดงให้เห็นว่า แม้กำลังรับแรงเฉือนของดิน ทรายจะเป็น ปรากฏการณ์ที่เกิดขึ้นที่ความเครียดที่สูงมาก ส่วนการเดินทางของคลื่นแรงเฉือน จะเป็นปรากฏการณ์ที่เกิดขึ้นที่ความเครียดน้อยมากก็ตาม ผลการทดลองแสดงให้เห็นว่าค่าความ เค้นประสิทธิผลและอัตราส่วนช่องว่างเป็นผลกระทบที่สำคัญยิ่งต่อกำลังรับแรงเฉือนของดินทราย

นอกจากนี้แล้วยังเป็นผลกระทบที่สำคัญต่อความเร็วของคลื่นแรงเนื้อนด้วยเช่นกัน ดังนั้นจึงกล่าวได้ว่า กำลังรับแรงเฉือน ถึงแม่ไม่ได้สัมพันธ์กันโดยตรงแต่ก็มีแนวโน้มที่จะสัมพันธ์กับความเร็วของคลื่นแรงเฉือนได้โดยพิจารณาถึงอัตราส่วนซึ่งว่างและความเค้นประสิทธิผลในดินทราย ผลกระทบสอบยังพบอีกว่า ค่ามุ่งเสียดทานภายในของทรายจะเพิ่มมากขึ้นเมื่ออัตราส่วนซึ่งว่างมีค่าลดลง และในบทสรุปของงานวิจัยได้แนะนำว่า การประมาณค่ากำลังรับแรงเฉือนในที่ (In-situ shear strength) ของดินทรายโดยการใช้คลื่นแรงเฉือนเป็นวิธีที่ได้ผลที่ดีวิธีหนึ่ง โดยความถูกต้องของการประมาณค่านั้นขึ้นอยู่กับคุณภาพของข้อมูลทางพลศาสตร์ที่ตรวจวัดได้ในที่ (In-situ seismic data) เป็นสำคัญ

2.4 การทดสอบโดยการใช้ Bender Element เพื่อวัดคลื่นแรงเฉือนในดิน

วิธีการตรวจวัดโดยใช้ Bender Element ได้ถูกพัฒนาขึ้นโดย Shirley and Hampton (1977) ซึ่งเป็นวิธีที่ง่ายใช้สำหรับการวัดโมดูลัสแรงเฉือนของดินในระดับความเครียดที่ต่ำมาก การทดลองทำได้โดยการวัดความเร็วของคลื่นแรงเนื้อนที่แผ่กระจายในตัวอย่างทดสอบจากการส่งผ่านคลื่นแรงเฉือนจากตัวส่ง (Transmitter) ไปสู่ตัวรับ (Receiver) แผ่นทดสอบ Bender Element จะประกอบไปด้วยแผ่น Piezoelectric-ceramic จำนวน 2 แผ่น ประกอบกับแผ่นทองเหลือง แผ่นเหล็ก (Metal shim) หรือ สแตนเลสสตีล (Stainless steel) ดังรูป 2.4ก แผ่น Bender Element นี้จะส่งทั้งคลื่นแรงเฉือนและคลื่นแรงอัดไปทุกทิศทางตามรูปที่ 2.4ข

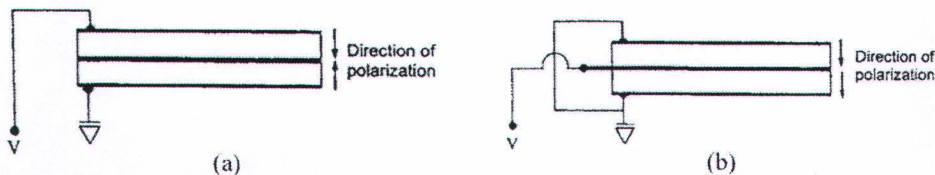


รูปที่ 2.4 (ก) ลักษณะของแผ่น Bender Element
(ข) ทิศทางการส่งคลื่นแรงเฉือนและคลื่นแรงอัดของ Bender Element
(Lee and Santamarina, 2005)

วิธีในการวัดค่าความเร็วของแรงเนื้อน จะใช้ Bender Element ซึ่งเป็นตัวแปลงสัญญาณ Electro-mechanical โดยแปลงพลังงานกล (การสั่นไหว) เป็นพลังงานทางไฟฟ้า หรือในทางกลับกันจะแปลงพลังงานทางไฟฟ้าเป็นพลังงานกล เมื่อปล่อยกระแสไฟฟ้าเข้าไปในแผ่น Bender Element ตัวแผ่นจะเกิดการงอขึ้น ในขณะนั้นแผ่น Bender Element จะแปลงสัญญาณจาก

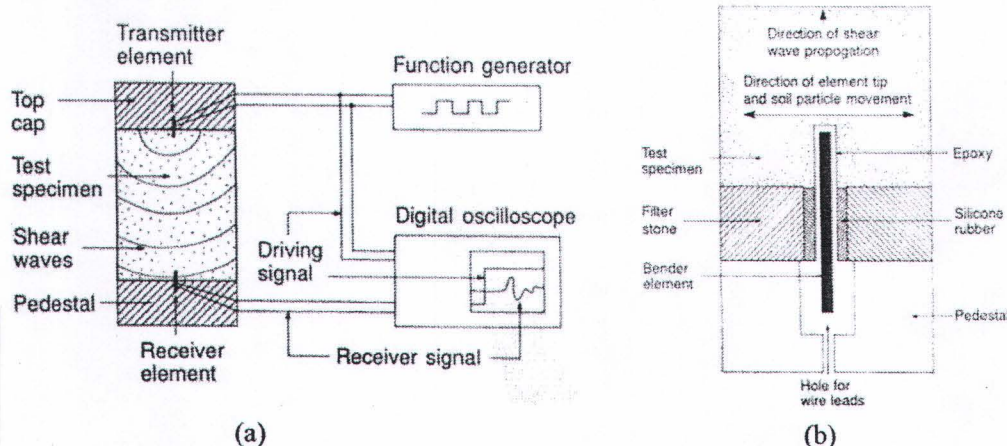
พลังงานไฟฟ้าเป็นพลังงานกลที่เคลื่อนที่ผ่านดิน ไปยัง Bender Element ตัวรับเพื่อเปลี่ยนสัญญาณจากพลังงานกลกลับมาเป็นสัญญาณทางไฟฟ้าอีกครั้งหนึ่ง

Bender Element มีอยู่ด้วยกัน 2 ชนิด คือ ชนิดแบบขี้ X (X-Poled) หรือการต่อแบบซีรี่ย์ (Series connection) และ แบบขี้ Y (Y-Poled) หรือการต่อแบบขนาน (Parallel connection) ดังที่แสดงในรูป 2.5 ซึ่งไม่ว่าจะเป็นการต่อแบบใดก็สามารถใช้เป็นได้ทั้งตัวรับและตัวส่งสัญญาณ โดยที่การใช้จะแตกต่างกันในการต่อวงจรไฟฟ้าจะต่ออนุกรมเมื่อใช้เป็นตัวรับสัญญาณและต่อแบบขนานเมื่อใช้เป็นตัวส่งสัญญาณเหตุที่ต้องต่อวงจรแตกต่างกันเพื่อที่จะใช้งานได้อย่างมีประสิทธิภาพในแต่ละด้านนั้นเอง รูปที่ 2.6 แสดงการเชื่อมต่อ Bender Element เข้ากับอุปกรณ์การทดสอบเพื่อการวัดคลื่นแรงเฉือนในดิน



รูปที่ 2.5 ชนิดของ Bender Element แบบ (a) แบบ X-Poled (b) แบบ Y-Poled

(Lee and Santamarina, 2005)



รูปที่ 2.6 (a) การเชื่อมต่อ Bender Element ที่เป็นตัวส่งสัญญาณและตัวรับสัญญาณ

เข้ากับเครื่อง Oscilloscope (b) การติดตั้งตัว Bender Element เข้ากับหัวกด (Pedestal)

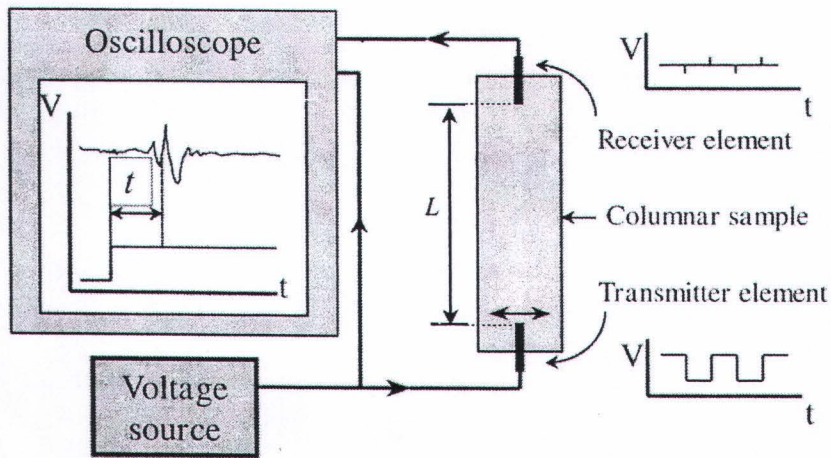
(Piezoceramic bender element test data sheet of Norwegian Geotechnical Institute, NGI)

ในการคำนวณหาค่าคลื่นแรงเฉือนที่ตรวจวัดได้จากสัญญาณรับและส่งนั้นสามารถทำได้โดยง่ายจากการที่ 2.1



$$V_s = \frac{L}{t}$$

V_s คือ ความเร็วของคลื่นแรงเสือน L คือ ระยะระหว่างปลายทั้งสองข้างของตัวรับและตัวส่งของแผ่น Bender Element และ t คือ ระยะเวลาในการเดินทางของคลื่นแรงเสือนผ่านตัวอย่างดิน โดยรูปที่ 2.7 แสดงลักษณะการวัดค่าของ L และ t



รูปที่ 2.7 รูปแสดงการวัดค่าระยะทางการเดินทางของคลื่นแรงเสือน (L) และเวลาในการเดินทางของคลื่นแรงเสือน (t) (Blewett et al. 1999)

แต่อย่างไรก็ตามการคำนวณหาค่าเวลาในการเดินทางของคลื่นแรงเสือน (Travel time) ผ่านตัวอย่างดินนั้นยังมีข้อถกเถียงกันอย่างมากระหว่างนักวิจัยทางด้านปฐพีกลศาสตร์ ทั้งนี้ยังไม่เป็นที่สรุปอย่างแน่นชัดว่าวิธีใดเป็นวิธีที่ดีที่สุด โดยวิธีในการคำนวณหาเวลาเดินทางของคลื่นแรงเสือนมีดังนี้

- First time of arrival (Kumar and Madhusudhan, 2010)
- Travel time between characteristic points
- The cross-correlation method
- Phase-sensitive detection (Blewett et al., 1999)

นอกจากนี้สัญญาณที่รับได้จากตัวรับสัญญาณคลื่นแรงเสือนนั้นอาจมีลักษณะที่ยากแก่การคำนวณเนื่องจากสัญญาณที่รับได้อาจถูกกระบวนการด้วยผลกระทบของรูปคลื่นแรงเสือนที่ผิดแปลงไปในช่วงแรก หรือที่เรียกว่าโดยทั่วไปว่า Near-field effect (Sanchez-Salinero et al., 1986 และ Jovicic et al., 1996)